

## Experimental Investigation on the Effect of the Bendway Weir Angle on the Erosion and Sedimentation Pattern in Meandering River

M. Hemmati<sup>1\*</sup>, M. Gomeshi<sup>2</sup> and S. M. Kashefipour<sup>2</sup>

### Abstract

Bank erosion is one of the important management issues, especially in meandering rivers. Bendway weirs have recently become among the most popular structures in erosion control along the meanders. Bendway weirs are the stone structures constructed in outer bank to change the flow direction from outer bank to the center of the channel so as to prevent erosion. In this study it has been attempted to investigate the effect of angle of bendway weirs on the pattern of erosion and sedimentation. Three angles of 60°, 75° and 90° and three flow rates of 120, 180 and 230 liter per second were examined. Other structural parameters such as length, height, and distance were kept constant. Continuous injection of sediment with  $d_{50}=1.6$  mm formed a live bed.

The results of this study showed that the cross-section area of sedimentary bar in the inner bank decreased by an order of 13 to 48 percents as a result to the construction of weirs. The minimum and maximum of decrease were corresponded to the angles of 90° and 60°, respectively. The maximum scour depth to weir height ratio in the outer bank wall was very evident for the angle of but not so noticeable for other two angles. The maximum amount of this ratio was 4.6 at 90°. Sedimentation and scouring patterns showed that the sedimentation between weirs and thereby protecting the outer bank were better for the angles of 60° and 75°. Angle of 90° is not recommended for construction of bendway weirs.

## بررسی آزمایشگاهی تأثیر زاویه سرریزهای مستغرق بر الگوی رسوب و فرسایش در پیچان رود

محمد همتی<sup>۱\*</sup>، مهدی قمشی<sup>۲</sup> و سید محمود کاشفی پور<sup>۲</sup>

### چکیده

فرسایش ساحل یکی از موضوعات مهم مدیریتی بخصوص در رودخانه‌های مئاندری می‌باشد. اخیراً سرریزهای مستغرق به یکی از سازه‌های پر طرفدار در کنترل فرسایش در قوسها تبدیل شده‌اند. سرریزهای مستغرق، سازه‌های سنگی شکل هستند که در قسمت قوس خارجی رودخانه احداث می‌گردند تا جهت جریان را از قسمت بیرونی قوس به مرکز کانال تغییر داده و مانع فرسایش آن گردد. در این تحقیق سعی گردیده است تا تأثیر زاویه سرریزهای مستغرق بر الگوی فرسایش و رسوب بررسی گردد. پارامترها و متغیرهای مورد استفاده جهت انجام آزمایشات شامل: سه دبی ۱۸۰، ۱۲۰ و ۲۳۰ لیتر در ثانیه، زاویه‌های ۶۰°، ۷۵° و ۹۰° می‌باشند. سایر پارامترها از جمله طول، ارتفاع و فاصله سازه‌ها ثابت بودند و از یک نوع رسوب با  $d_{50}$  برابر با ۱/۶ میلی‌متر به صورت بستر زنده (با تزریق پیوسته رسوب) استفاده گردید. نتایج این تحقیق نشان داد که سطح تپه رسوبی موجود در قوس داخلی در اثر احداث سرریزها بین ۱۳° تا ۴۸° درصد کاهش یافته. کمترین و بیشترین این مقادیر بترتیب مربوط به زاویه‌های ۹۰° و ۶۰° می‌باشند. نسبت ماکریم عمق آبستنگی به ارتفاع سرریز در سمت دیواره قوس خارجی برای زاویه‌های ۶۰° و ۷۵° قابل ملاحظه نبوده؛ اما مقادیر نسبت مذکور در زاویه ۹۰° بسیار مشهود بود طوری که بیشترین مقدار آن در این زاویه با ۴/۶ می‌باشد. الگوهای فرسایش و رسوبگذاری نشان داد تأثیر زاویه‌های ۶۰° و ۷۵° ذ در رسوبگذاری بین سرریزها و در نتیجه آن حفاظت از قوس خارجی بهتر از ۹۰° بوده و استفاده از زاویه ۹۰° برای احداث سرریزهای مستغرق در چنین قوسهایی توصیه نمی‌گردد.

**کلمات کلیدی:** زاویه سرریزهای مستغرق، پیچان رود، الگوی رسوبگذاری، فرسایش.

تاریخ دریافت مقاله: ۱۸ تیر ۱۳۹۰

تاریخ پذیرش مقاله: ۲۰ آبان ۱۳۹۱

**Keywords:** Angle of bendway weirs, Meandering river, Sedimentation pattern, Erosion.

Received: July 9, 2011

Accepted: November 10, 2012

1- PhD. Student, Department of Hydraulic Structures, Shahid Chamran University, Ahwaz, Iran, E-mail: mhemmati1982@yahoo.com

2- Professor, Department of Hydraulic Structures, Shahid Chamran University, Ahwaz, Iran, E-mail: m.ghomeshi@yahoo.com ; kashefipour@excite.com

\*- Corresponding Author

۱- دانشجوی دکتری سازه‌های آبی دانشگاه شهید چمران، اهواز، ایران.

۲- استاد گروه سازه‌های آبی دانشگاه شهید چمران، اهواز، ایران.

\*- نویسنده مسئول

## ۱- مقدمه

خط مماس بر خط لبه آب برای جریان طراحی و خط مرکزی ساحل محاسبه گردد (Darrow, 2004). طبق این تعریف، سرریزهایی که دارای زاویه‌ای کمتر از  $90^\circ$  باشند، نمای جهت بالا دست، سرریزهایی که دارای زاویه‌ای بیشتر از  $90^\circ$  داشته باشند، نمای پایین دست و سرریزهایی که زاویه  $90^\circ$  داشته باشند، عمود بر جریان نامیده می‌شوند. در گذشته اینکه سرریزهای مستغرق به چه صورتی احداث گردند تا بیشترین تأثیر را در حفاظت از قوسها داشته باشند، مورد بحث بوده است. طرفداران نمای زاویه بالا دست به نتایج آزمایشگاهی و میدانی استدلال می‌کنند. نتایج مطالعات میدانی نشان داد که جریان بعد از عبور از روی سرریز به صورت عمود بر محور سرریز آنرا ترک می‌کند (Derrick, 1999). در نمای زاویه بالا دست، جریان از قسمت قوس خارجی به سمت تپه رسوبی هدایت می‌شود (Derrick, 1999). در این حالت، سرریزها باعث تغییر جهت و یا دفع جریان از قوس خارجی به مرکز کانال می‌گردند و به این حالت اصطلاحاً سرریزهای جاذب جریان گفته می‌شود. طرفداران نمای پایین دست، سرریزهای جاذب جریان گفته می‌شود. طرفداران نمای زاویه پایین دست سرریزها استدلال دارند که در این حالت آبستنگی کاهش یافت و آشغال، بخ... کمتری در پشت سرریزها جمع‌آوری می‌شود. (ICBIP, 1971) در سالهای اخیر، نمای زاویه پایین دست برای مواردی که فرسایش ساحل خارجی از اهمیت کمتری برخوردار باشد، فقط برای کشتیرانی بکار برد می‌شود. به گفته Watson (2003) در ده سال اخیر، استفاده از زاویه پایین دست برای حفاظت ساحل خارجی ممنوع شد و بجای آن از زاویه بالا دست استفاده گردید.

Abad et al. (2008) به بررسی ساختار جریان در شرایط مختلف در یک قوس مئاندری با وجود سازه سرریزهای مستغرق پرداختند. ایشان با اندازه‌گیری سه بعدی سرعت روى نهر Sugar Brookside، مدل سه بعدی را برای جریانهای کم‌عمق شبیه‌سازی کردند که بعد از تایید کارایی مدل، آنرا برای جریانهای با عمق متوسط و بیشتر شبیه‌سازی کردند. روی هم رفته نتایج تحقیق ایشان نشان داد که همبستگی خوبی بین داده‌های اندازه‌گیری شده و محاسبه شده سرعت و انرژی توربولنس وجود دارد. این مدل دقت کمی در پیش‌بینی سرعت و انرژی جنبشی توربولنس موجود در لایه برشی که بالا فاصله در پایین دست نوک سرریز ایجاد می‌شود، دارد. داده‌های میدانی بیانگر وجود سه ناحیه هیدرولیکی عمدۀ در شرایط جریان کم می‌باشند: ۱- منطقه سکون یا عدم چرخش جریان بین سرریزها، ۲- یک خط القعر داخلی که در جلوی سرریزها ایجاد می‌شود، وجود یک ناحیه با سرعت بالا در سطح آب و کاهش سرعت در جهت کف و قوس داخلی، ۳- وجود یک لایه برشی بالا فاصله در

فرایندهای طبیعی مرتبط با سیستم‌های رودخانه‌های مئاندری محافظت نشده نشان داده است که گودافتدگی بستر آبراهه، فرسایش ساحل آبراهه و جابجایی قوس‌ها در این رودخانه‌ها اتفاق می‌افتد. در بعضی سیستم‌ها، قوسها (مئاندرها) به طور طبیعی و در جهت عرضی به سمت پایین دست گسترش می‌یابند. یکی از سازه‌هایی که برای کنترل این جابجایی‌ها بکار برد می‌شود، سرریزهای مستغرق می‌باشد. سرریزهای مستغرق، سازه‌های سنگی شکل هستند که در قسمت قوس خارجی رودخانه احداث می‌گردند تا جهت جریان را از قسمت بیرونی قوس تغییر داده و مانع فرسایش آن گردند. جریان عبوری از قسمت بالایی سرریز، به صورت عمود بر موقعیت سرریز و به طرف قوس داخلی تغییر جهت می‌دهد. این سازه باعث کاهش سرعت در نزدیک ساحل، کاهش شدت جریان در قوس خارجی، بهبود زیستگاه آبزیان، بهبود شرایط کشتیرانی، رسوبگذاری در قوس خارجی (حفاظت قوس خارجی) و کاهش رسوبگذاری در قوس داخلی می‌گردد (Fischenich and Allen, 2000).

خصوصیات جریان در قوسها می‌تواند الگوهای رسوبگذاری و فرسایش را به خوبی توضیح دهد. رودخانه‌ها به طریقه‌های مختلفی می‌توانند جابجا شوند و پیش‌بینی اینکه رودخانه به کدام جهت مهاجرت خواهد کرد و همچنین پیش‌بینی شدت مهاجرت مشکل می‌باشد. جهت و شدت مهاجرت رودخانه بستگی به امتداد جریان و ژئوتکنیک مواد ساحل دارد که این پیش‌بینی به دلیل اینکه امتداد جریان با شرایط تغییر می‌کند و تابع زمان نیست و بررسی وسیعی از مواد تشکیل دهنده در طول ساحل رودخانه مورد نیاز است، خیلی سخت می‌باشد. شدتهای مهاجرت مئاندری همچنین به ظرفیت حمل رسوب و اینکه آبراهه در حال گود افتادگی یا رسوبگذاری است و یا خیر، بستگی دارد (Sclafani, 2010).

LaGasse et al. (2001) اعلام کردند در رودخانه‌های بزرگ شدت مهاجرت تا ۷۵۰ متر در سال نیز مشاهده شده است.

مطابق کارهای آزمایشگاهی و میدانی صورت گرفته در سالهای متتمادی مشاهده شده که زاویه سرریزها یک شاخص کاملاً مهم و اثرگذار بر روی شرایط جریان می‌باشد (Derrick, 1999). سرریزهای مستغرق ممکن است به صورت عمود بر جریان و یا با زاویه کمی نسبت به بالا دست و یا پایین دست احداث گردند. زاویه سرریزها ممکن است از طریق زاویه بین خط مماس بر قوس رودخانه در نقطه احداث سرریز با خط مرکزی سرریز و یا زاویه بین

در مطالعه‌ای که مهندسان ارتش آمریکا در ایستگاه آزمایش آبراهه‌ها<sup>۱</sup> (WES) بخش سنت لوئیس بر روی سرریزهای مستغرق واقع در قوس رودخانه می‌سی‌پی بر روی یک مدل فیزیکی با کف متحرک انجام دادند اعلام داشتند که هدف از طرح این مطالعه و بهبود کشتیرانی در قوس و حل مشکلات زیست محیطی به شرح ذیل بود:

۱- هزینه‌های زیاد تعمیر و نگهداری لاپروا، ۲- لزوم حفاظت از لانه‌های چلچله‌های دریابی کوچک، ۳- تنگ کردن کanal کشتیرانی، ۴- سرعتهای زیاد، ۵- جریان‌های سیلابی مضر و ۶- عرض کم کanal کشتیرانی در گذرگاه مستقیم پایین دست قوس (USACE, 1981).

با توجه به این مدل، مفهوم سرریزهای مستغرق که در ۱۹۸۸ به عنوان دی طراحی سرریزهای مستغرق توسعه یافته بود برای قوسهای Brown و Price's Landing و اصلاح شد. این سرریزها در ۱۱ مدل در WES<sup>۱</sup> بهره‌سازی کشتیرانی در عمق‌های کم و زیاد، تنظیم مسیر جریان از پلهای بزرگراه، انحراف رسو ب و حفاظت از ساختمان تعمیر کشته‌ها آزمایش شد. از سال ۱۹۸۹ تا ۱۹۹۵ به تعداد ۱۲۰ سرریز در ۱۳ خم رودخانه می‌سی‌پی ساخته شد. تحلیل ۵ عدد از قدیمی‌ترین تاسیسات سرریزها نشان داد که از سال ۱۹۹۰ تا ۱۹۹۵ لاپروا به میزان ۸۰ درصد کاسته شده و ۳ میلیون دلار صرفه جویی گردید. بعلاوه حوادث کشتی‌های یدک‌کش کاهش بافت، تاخیر در زمان یدک‌کشی در خمها کم شد، ساماندهی رسو ب و بخ بهبود پیدا کرد، اختلال در مناطق سکونت چلچله‌ها از بین رفت، حوزه زیستگاه آبزیان افزایش یافت و تعداد و اندازه ماهیان در مناطق سرریزها در بعضی موارد تا پنج برابر اضافه شد (USACE, 1981).

(Shields et al. 1998) گزارش دادند آب ساکنی که توسط گردابهای شکل گرفته پشت سرریزها تشکیل می‌گردد، باعث ایجاد زیستگاه آبزیان می‌شود؛ این زیستگاه بین خط‌القعر رودخانه و منطقه رسو بگذار بین سرریزها بوجود می‌آید. همچنین یک چاله فرسایشی در دماغه این سرریزها اتفاق می‌افتد. علاوه بر این، ایشان اشاره داشتند وقتی که این سازه‌ها به طور مناسب احداث گردند باعث کاهش فرسایش سواحل می‌گردند. ایشان گزارش دادند که با احداث این سازه‌ها افزایش معنی‌داری در تعداد ماهیان، اندازه و تنوع گونه‌های مختلف مشاهده گردید.

بررسی منابع مختلف نشان می‌دهد بیشتر مطالعات صورت گرفته مربوط به مطالعات میدانی بوده و مطالعات آزمایشگاهی که با بستر

پایین دست نوک (دماغه) سرریزها بین ناحیه غیر چرخشی و ناحیه با سرعت بالا.

Kinzli and Thornton (2009) در مطالعه‌ای آزمایشگاهی به بررسی پیش‌بینی سرعت در محدوده سرریزهای مستغرق پرداختند. مدل مورد استفاده آنان مربوط به بخشی از قوس رودخانه میدل ریوگراند با مقیاس ۱:۱۲ بود. متغیرهای مورد استفاده در تحقیق آنها شامل دبی (۲۲۶، ۳۴۰ و ۴۵۳ لیتر در ثانیه)، زاویه سرریزها (۹۰° و ۶۰°)، طول سرریز که به صورت درصدی از عرض بالادست کanal انتخاب می‌شد (۱۵، ۲۲ و ۲۸ درصد) می‌باشد. عرض تاج، کف و ارتفاع سرریز در تحقیق آنها ثابت بودند و آزمایشات در بستر صلب انجام گرفت. عرض تاج سرریز ۳۰ سانتی‌متر و با شبیه که به سمت پایین داشت عرض کف سرریز ۱۲۰ سانتی‌متر می‌شد. ایشان دبی ۳۴۰ مترمکعب در ثانیه را به عنوان دی طراحی سرریزهای مستغرق استفاده کرده بودند. آنان در نهایت با استفاده از این داده‌های آزمایشگاهی چهار معادله را جهت پیش‌بینی سرعت اطراف سرریزهای مستغرق ارائه دادند. ایشان پیشنهاد داده بود بهتر است رنج وسیع‌تری از اندازه‌های طول و زاویه‌ها نیز بررسی گرددند.

Jarrahzade and Shafai-Bejestan (2011) در مطالعه‌ای به مقایسه ماکریزم عمق آبستگی در خط ساحل و دماغه سرریزهای مستغرق در قوس ۹۰° تند پرداختند. مدل مورد استفاده در آزمایشات ایشان دارای عرض ۰/۴ متر و شعاع ۰/۸ متر بود. عمق آب در آزمایشات آنها ثابت و ارتفاع سرریزها ۳۳ درصد آن انتخاب گردید. زاویه قرارگیری سازه‌ها نسبت به خط عمود بر قوس ۳۰°، فاصله سازه‌ها ۳، ۴ و ۵ برابر طول سازه و طول سازه‌ها ۲۰ درصد عرض کanal بود. نتایج مطالعات آنان نشان داد که عملکرد سازه‌ها در نسبت فاصله سازه به طول آن برابر با ۳ از بقیه موارد بهتر بوده و اشاره کردن که برای قوسهای تند در مقایسه با قوسهای معمولی و نرمال، فاصله سازه‌ها باید کمتر انتخاب شود.

رامش و همکاران (۱۳۸۹) به بررسی تأثیر سه زاویه (۰°، ۱۵° و ۳۰°) بر ماکریزم عمق آبستگی در یک مدل آزمایشگاهی با قوس ۹۰° تند و در شرایط هیدرولیکی مختلف با دبی‌های ۱۰، ۱۴، ۱۸ و ۲۲ لیتر در ثانیه پرداختند. فاصله، ارتفاع و طول سرریزها در آزمایشات آنها ثابت و بترتیب ۴ برابر طول سرریز (۴L)، ۳۳ درصد عمق آب (۰/۳۳D) و ۲۰ درصد عرض فلوم (۰/۲W) بودند. نتایج آزمایشات ایشان نشان داد که زاویه ۳۰° و ۱۵° بترتیب کمترین و بیشترین آبستگی را ایجاد نمودند.

از آرام کننده جریان استفاده گردید (فاصله دو مقطع مذکور بیش از ۵ متر می باشد) و مقطع ذوزنقه‌ای آبراهه از C شروع می شود. شروع قوس اول D و انتهای این قوس و شروع بازه مستقیم F شروع قوس دوم G و انتهای آن I می باشد. قوس سوم از J شروع و تا L ادامه می یابد. دریچه قطاعی جهت کنترل جریان در قسمت انتهایی کanal و در مقطع N قرار گرفته است. جریان عبوری از مدل در انتهایها به مخزن سالن آزمایشگاه تخلیه و توسط پمپ، آب مجدداً به مدل برگردانده می شود.

لازم ذکر می باشد که فاصله بین F و G و I و J که مسیرهای مستقیم در بالادست و پایین دست قوس مرکزی می باشند، ۴/۸۹ متر بوده و طول قوس خارجی ۱۱ متر و طول قوس داخلی ۵/۵ متر می باشد (طول قوس بین مقاطع ۴۰ و ۵۱). شماره‌گذاری‌های صورت گرفته در شکل ۱ مربوط به شماره مقاطع می باشند که از مقطع ۳۶ بالادست قوس شروع و به مقطع شماره ۵۵ در پایین دست قوس ختم می گردد که در نتایج به آنها اشاره می گردد. برش مقاطع برای ارائه نتایج طوری است که در تمامی اشکال، قوس خارجی در سمت چپ و قوس داخلی در سمت راست مقاطع قرار گرفته است.

## ۲-۲- معرفی پارامترها و متغیرهای مربوط به سرریزهای مستغرق

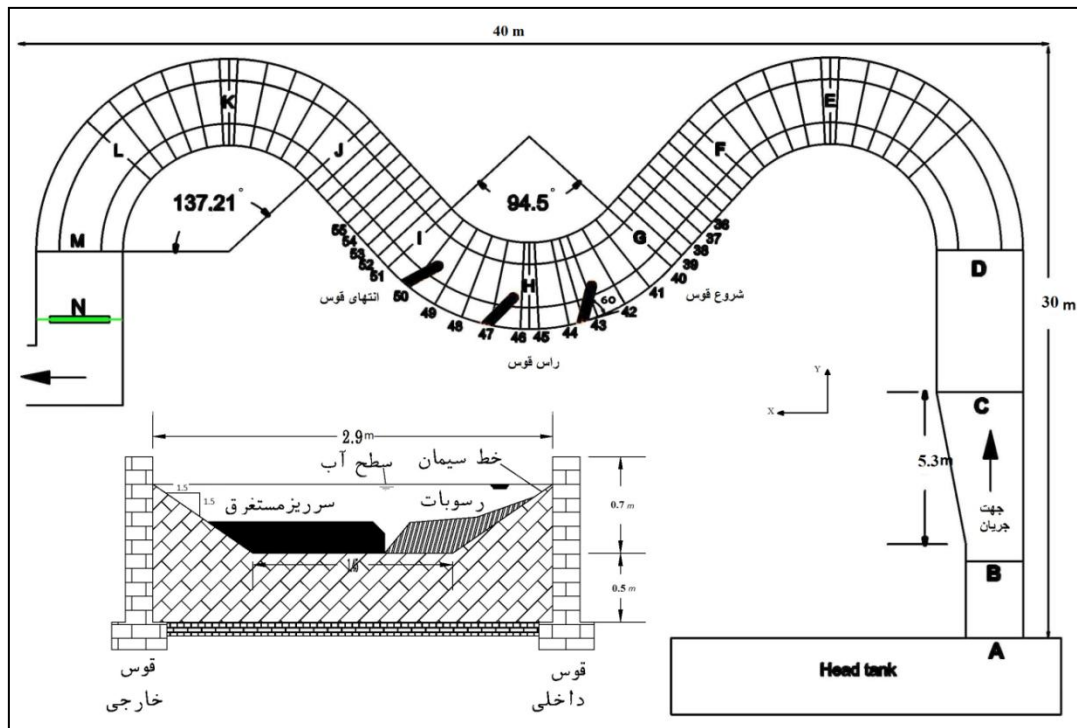
لازم به توضیح می باشد که زاویه سرریز در واقع همان زاویه محور مرکزی سرریز با خط مماس بر قوس در نقطه احداث سرریز می باشد که در این تحقیق از سه زاویه  $60^\circ$ ،  $75^\circ$  و  $90^\circ$  استفاده گردید. این سازه‌ها طوری طراحی شده بودند که طول (تصویر واقعی طول تاج در امتداد شعاع قوس) آنها ثابت و  $40^\circ$  درصد عرض سطح آب بود و همچنین فاصله و ارتفاع سرریزها نیز در تمامی آزمایشات ثابت و بترتیب سه برابر طول سرریز و  $33^\circ$  درصد عمق آب بودند. عرض تاج سرریزها ۲ سانتی‌متر و شبی بدن سرریزها  $1:1/5$  انتخاب گردید. لازم ذکر می باشد که طراحی پارامترهای سرریزها بر اساس مشخصات دبی  $180$  لیتر در ثانیه صورت گرفت. با توجه به دبی‌های  $180$ ،  $120$  و  $230$  لیتر در ثانیه و آزاد بدن شرایط جریان در کanal (بدون تغییر دریچه پایین دست) و ثابت بودن تقریبی عدد فرود جریان، با افزایش دبی در مدل، تنها عمق آب تغییر می کرد. لذا دبی  $180$  لیتر در ثانیه مبنای طراحی مشخصات سرریزها گردید تا تأثیرات دبی‌های بیشتر و کمتر از آن بررسی گردد. همچنین در مدل مورد استفاده در دانشگاه کلرادو توسط Darrow (2004) و Kinzli and Thornton (2009) که از سه دبی  $12$ ،  $8$  و  $16$  فوت مکعب در ثانیه را مکعب در ثانیه استفاده کرده بودند، دبی  $12$  فوت مکعب در ثانیه را به عنوان دبی طراحی سرریزهای مستغرق در نظر گرفته بودند.

زنده صورت گرفته باشند بسیار کمیاب می باشند. همچنین مطالعه آزمایشگاهی که به بررسی تأثیر زاویه احداث سرریزهای مستغرق بر الگوهای رسوبگذاری و فرسایش در یک مدل پیچان رود همراه با تزریق رسوب پرداخته باشد، وجود ندارد. لذا تحقیق حاضر در نظر دارد در جهت توسعه مطالعات مربوط به سرریزهای مستغرق، به تأثیرات زاویه سرریزهای مستغرق بر الگوهای رسوب در یک مدل پیچان رود همراه با تزریق رسوب پردازد.

## ۲- مواد و روشهای

### ۲-۱- مشخصات مدل

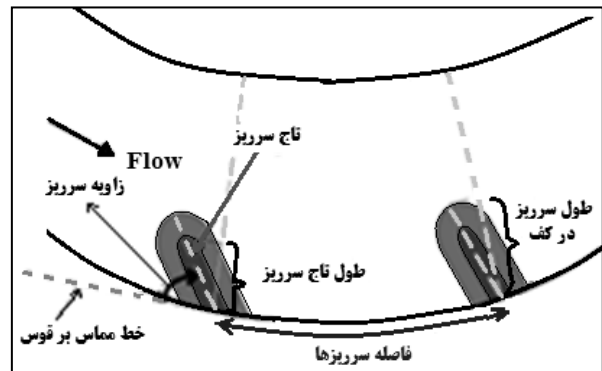
برای انجام آزمایشات مربوطه از مدل موجود در موسسه تحقیقات آب در فضایی به ابعاد  $30 \times 40$  متر مطابق شکل ۱، استفاده گردید. در مدل مربوطه، ابعاد خم با توجه به روابط رژیم تعادلی رودخانه‌ها در نواحی پیچان رودی و هندسه رودخانه کارون در ناحیه پایین دست شهر اهواز بدست آمده است. با توجه به روابط تجربی و مشخصات خم‌های رودخانه کارون، ابعاد در پلان و نسبت‌های مربوطه مدل در مقیاس هندسی در حدود  $1:80$  نسبت به نمونه اصلی بدست آمده است (ابوالقاسمی، ۱۳۸۵). مقطع کanal ذوزنقه‌ای می باشد که عرض آن در کف و بالای کanal به ترتیب  $1/45$  و  $2/9$  متر می باشد (عرض کف با وجود رسوب،  $2/4$  متر می باشد). شبکه‌ها برای قوس بیرونی و داخلی مقطع سیمانی، برابر با  $1:1/5$  می باشد؛ لازم به توضیح می باشد که شبکه‌ها در داخلی قوس با استفاده از اطلاعات مقطع عرضی رودخانه کارون، مقدار ۵ انتخاب شد، البته شبکه  $18^\circ$  داخلی آبراهه در مدل فیزیکی با رسوبگذاری می تواند ملایم‌تر از این مقدار باشد. لازم به ذکر است که رقم فوق برای شبکه داخلی صرفاً یک معیار تقریبی برای محاسبه شرایط رسوبگذاری و فرسایش تنظیم مدل مقدار آن به اقتضای شرایط رسوبگذاری و فرسایش تنظیم می گردد (ابوالقاسمی، ۱۳۸۵). شبکه طولی بستر  $1/10$  در هزار می باشد. این مدل از سه قوس تشکیل شده است که زاویه مرکزی قوسهای اول و سوم  $21^\circ$  و  $21/21^\circ$  و زاویه قوس مرکزی که مورد مطالعه این تحقیق می باشد؛ لازم ذکر می باشد که دلیل انتخاب قوس مذکور توسعه یافته‌گی کامل جریان در این ناحیه می باشد (ابوالقاسمی، ۱۳۸۵). همانطور که در شکل ۱ مشخص شده است جریان از ناحیه بالادست در محل A وارد مدل می گردد، در محل B جریان ورودی توسط سرریز به تیز مستطیلی به عرض  $2$  متر اندازه‌گیری می شود. برای تعیین دبی-اشل سرریز از اندازه‌گیری سرعت در نقاط و اعمق مختلف بر روی سرریز و همچنین کنترل آن در پایین دست در مقطع ثابت (بدون حضور رسوب) با اندازه‌گیری سطح مقطع و سرعت متوسط صورت گرفته است. بین مقطع A و



شکل ۱ - پلان و مقطع مدل فیزیکی پیچان رود

بصورت آزاد (شرایط طبیعی) عمل می کرد. با توجه به مطالعات قبلی در این مدل توسط ابوالقاسمی (۱۳۸۵) و الگوگری از آن، سه دبی ۱۲۰، ۱۸۰ و ۲۳۰ لیتر در ثانیه انتخاب گردید. در این مطالعه بستر کanal به صورت بستر متحرک انتخاب گردیده است و لذا باید سرعت در کanal به حدی انتخاب شود که توان انتقال ذرات را داشته باشد؛ بطوریکه دبی ۱۲۰ لیتر در ثانیه کمترین دبی است که رسوبات به عنوان بار بستر شروع به حرکت می کنند. همچنین لازم بذکر می باشد که با توجه به طولانی بودن مدت زمان آزمایشات برای به تعادل رسیدن بستر، انتخاب دبی های کمتر، از نظر زمان و هزینه صرفه اقتصادی نداشت. بعد از تنظیم دبی ۱۲۰ لیتر در ثانیه و جاگذاری دستگاه اندازه گیر سه بعدی سرعت<sup>۳</sup> (ADV) در یک نقطه که ماکریم آبستنگی اتفاق می افتد، عمق آبستنگی با گذشت زمان اندازه گیری و ثبت گردید. بعد از رسیدن به تعادل نسبی و برداشت داده ها، بدون تغییر در بستر تعادلی دبی ۱۸۰، دبی ۱۸۰ در ثانیه اجرا شد و همین طور برای دبی ۲۳۰ لیتر در ثانیه نیز این روند تکرار شد. نتایج این روند نشان داد که در این حالت بستر خیلی سریعتر به حالت تعادل می رسد. البته جهت اطمینان از به تعادل رسیدن تقریبی بستر علاوه بر استفاده از دستگاه ADV در مراحل اولیه، در ادامه از سه Point Gage گردید؛ زیرا عدم تغییر در شیب سطح آب استفاده مقاطع F-H و ۵۵ در شکل ۱ برای کنترل شیب سطح آب به منزله به تعادل رسیدن

شکل ۲ به معرفی مشخصات سرریزهای مستغرق در تحقیق حاضر اشاره دارد.

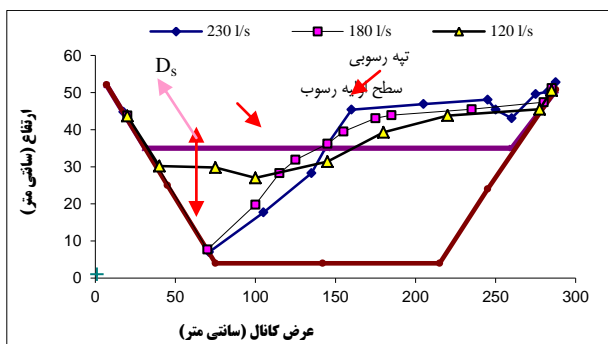


شکل ۲- معرفی پارامترهای مربوط به سرریزهای مستغرق

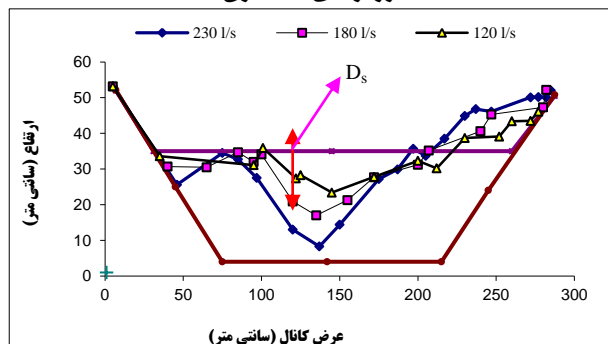
### ۳-۲- نحوه انجام آزمایش ها

در تحقیق حاضر آزمایشات به دو صورت، قبل و بعد از احداث سازه ها انجام گرفت. در سری اول که سازه ای در کanal وجود نداشت؛ رسوبات به ضخامت ۳۵ سانتی متر بر روی بستر کanal تسطیح گردید سپس آب به آرامی توسط لوله ۸ اینچی از پایین دست وارد مدل گردید و بعد از بالا آمدن آب در مدل، دبی به آرامی از بالا دست تنظیم می گردید. لازم به ذکر است که در کلیه آزمایشات با وجود سازه و بدون وجود آن، دریچه پایین دست تغییری نمی کرد و جریان

$D_s$  مربوط به عمق خطالقر کanal می‌باشد که نتایج آن در اشکال (۵) و (۶) بصورت بی‌بعد ارائه شده است. با توجه به شکل ۵، نسبت عمق خطالقر به ارتفاع سرریز ( $D_s/H_w$ ) در تمامی مقاطع با افزایش دبی، زیاد می‌گردد. طوری که مقادیر ماکزیمم و مینیمم آن بترتیب در اطراف دماغه سرریزها (مقاطع ۴۳، ۴۶ و ۴۹) و بین سرریزها (۴۵ و ۴۸) اتفاق افتاده است. بطور نمونه متوسط مقادیر ماکزیمم عمق نسبی خطالقر در مقاطع مذکور در دبی‌های ۲۳۰، ۱۸۰ و ۱۲۰ لیتر در ثانیه بترتیب برابر با ۷، ۶ و ۴/۶ بوده که این امر بیانگر افزایش عمق نسبی خطالقر با افزایش دبی در طول قوس مرکزی (محدوه احداث سرریزها) می‌باشد. همچنین با توجه به شکل ۶ ملاحظه می‌گردد که در مقایسه با حالت بدون سازه، احداث سرریزها باعث افزایش عمق نسبی خطالقر در نزدیکی و اطراف دماغه سرریزها شده است. به عنوان مثال مقدار نسبت مذکور در مقطع ۴۳ در اثر احداث سرریزها  $2/4$  برابر آن در حالت بدون سرریز می‌باشد. هر چند احداث سرریزها باعث افزایش عمق نسبی خطالقر شده است اما موقعیت خطالقر در دو حالت مذکور بسیار متفاوت می‌باشد. زیرا وجود خطالقر عمیق در مرکز کanal، با اینکه ممکن است برای خود سازه مشکلاتی را از نظر پایداری ایجاد نماید اما خطری را برای فرسایش قوس خارجی دنبال نمی‌کند.



شکل ۳- تأثیر دبی بر الگوی فرسایش و رسوب بدون وجود سرریزهای مستغرق



شکل ۴- تأثیر دبی بر الگوی فرسایش و رسوب با وجود سرریزهای با زاویه  $60^\circ$

بسط می‌باشد (ابوالقاسمی، ۱۳۸۵). در سری دوم آزمایشات تعداد سه سازه از جنس بتن پیش‌ساخته در قوس خارجی احداث گردیدند که برای بتن‌ریزی از قالب‌های مخصوص فلزی به ضخامت ۳ میلی‌متری و برای آب‌بندی آنها از سیمان استفاده گردید. سپس رسوبات به ضخامت ۳۰ و ۵۰ سانتی‌متر بترتیب در بستر و اطراف سازه‌ها تسطیح شد و مثل حالات بدون سازه و بدون تغییر در توپوگرافی دبی‌های قبلی آزمایشات انجام گرفت. البته لازم به ذکر می‌باشد که در کلیه آزمایشات با وجود سازه و بدون سازه، همراه با جریان، تزریق رسوب پیوسته انجام گرفت. با توجه به اینکه ماکزیمم عمق آبستنگی و یا عمق خطالقر بین مقاطع شماره ۴۸ و ۴۹ اتفاق افتاده بود؛ در احداث سازه‌ها سعی گردید این محل بین سازه‌ها قرار گیرد. مدت زمان انجام آزمایش برای شکل‌گیری بستر بستگی به میزان دبی و قدرت جریان دارد، در مقادیر بالاتر دبی، قدرت حمل رسوب در طول بازه افزایش یافته و بستر سریعتر شکل موردنظر خود را پیدا می‌نماید، لذا مدت زمان آزمایش از ۶ تا ۱۸ ساعت وابسته به دبی تغییر است. بعد از حصول نسبی تعادل در آبراهه، دبی قطع می‌شد و روز بعد از اتمام هر آزمایش که بستر کاملاً زهکشی شده و امکان برداشت توپوگرافی حاصل می‌گردد، در یک شبکه  $5 \times 10$  سانتی‌متر از متر لیزرنی برای برداشت الگوی رسوب و فرسایش و رسوبگذاری در اشکال (۱۲) تا (۱۵) آورده شده است. این اشکال با استفاده از نرم‌افزار Surfer(9) ترسیم گردیده‌اند. در این تحقیق از مواد رسوبی که  $d_{50}$  و  $G_s$  آن بترتیب برابر با  $1/6$  میلی‌متر و  $2/4$  بود، استفاده گردید.

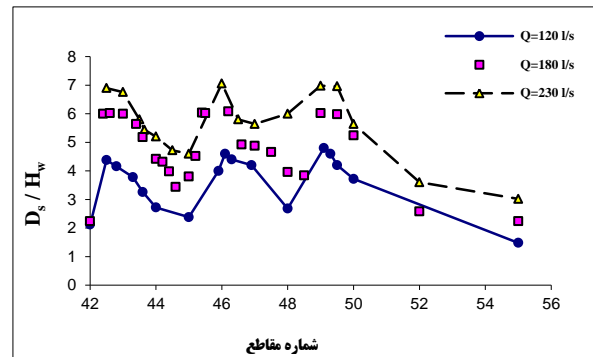
### ۳- نتایج و بحث

#### ۳-۱- بررسی تأثیر دبی بر الگوی فرسایش و رسوب

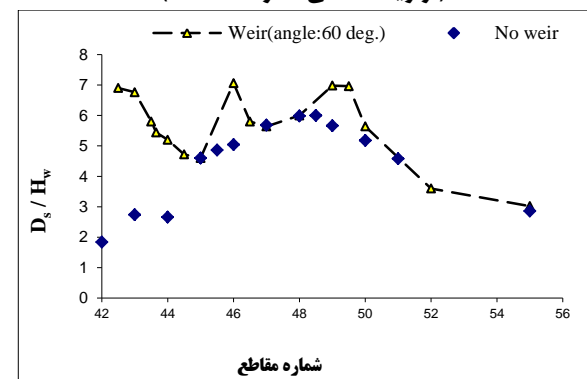
یکی از پارامترهای تأثیرگذار بر الگوی فرسایش و رسوب، دبی کanal می‌باشد. آزمایشات به دو صورت بدون سازه و با وجود سازه در سه دبی ۱۸۰، ۱۲۰ و ۲۳۰ لیتر در ثانیه انجام شد. اشکال (۳) و (۴) بترتیب مربوط به حالت بدون سازه و برای سرریزهای با زاویه  $60^\circ$  بوده که هر دو شکل مذکور مربوط به مقطع شماره ۴۸ می‌باشند. همانطور که در این اشکال ملاحظه می‌گردد با افزایش دبی، عمق خطالقر، سطح و ارتفاع تپه رسوبی در هر دو شکل افزایش می‌یابند؛ اما با مقایسه دو شکل مذکور ملاحظه می‌گردد که خطالقر از نقطه  $70$  سانتی‌متری محور افقی در حالت بدون سازه در شکل ۳ به  $145$  سانتی‌متری آن در شکل ۴ (با وجود سرریزها) انتقال یافته و از میزان رسوبات قوس داخلی در اثر احداث سرریزها کاسته شده است. در اشکال فوق الذکر، سطح رسوب تسطیح شده اولیه و بدنه کanal نیز آورده شده است تا تصویر بهتری از الگوی رسوب و فرسایش ارائه گردد. در این اشکال،

۵۰ بوده که متوسط مقدار آنها برابر با  $4/6$  می باشد. این مقاطع دقیقاً در بالادست سرریزهای اول و سوم (چسبیده به دیواره خارجی قوس) واقع شده‌اند که در نهایت می‌تواند به شکست سازه‌ها منجر شود. در نتیجه نمی‌توان انتظار داشت که سرریزها در چنین قوسی و در چنین زاویه‌ای ( $90^\circ$ ) کارکرد مطلوبی داشته باشند. علاوه بر دو مقطع  $43$  و  $50$  که در بالادست سازه‌ها واقع شده‌اند؛ بقیه مقاطع در پایین دست و یا بین آنها قرار دارند (شکل ۱). ملاحظه می‌گردد که مقدار نسبت مذکور در مقاطع دیگر (غیر از مقاطع  $43$  و  $50$ ) در زاویه  $90^\circ$  بین  $1/2$  و  $8/2$  در نوسان بوده که بیشترین آن مربوط به مقطع  $45$  می‌باشد. این در حالی است که مقادیر نسبت مذکور برای دو زاویه  $60^\circ$  و  $75^\circ$  بسیار نزدیک به هم بوده و در اکثر مقاطع کمتر از  $1$  می‌باشند (به جز دو مقطع  $44$  و  $52$  که بیشترین مقدار آن مربوط به زاویه  $75^\circ$  در مقطع  $52$  (شکال ۸ و  $10$ ) و برابر با  $1/5$  می‌باشد). آبشنستگی این ناحیه بیانگر وجود سرعتهای بالا در پشت سرریزها و سمت دیواره قوس خارجی می‌باشد و آبشنستگی بالادست سازه‌ای اول و سوم سمت دیواره خارجی (مقاطع  $43$  و  $53$ ) نیز بیانگر وجود گردابهای شدید در بالادست سرریزها بخصوص در زاویه  $90^\circ$  می‌باشد. لذا با توجه به مطالب ارائه شده می‌توان نتیجه گرفت که در چنین قوسی از مدل پیچان رود (قوس مرکزی در شکل ۱) زاویه  $90^\circ$  برای احداث سرریزهای مستغرق کارایی نداشته و توصیه نمی‌گردد. لازم بذکر است که اشکال (۶ الی ۱۱) مربوط به دبی  $230$  لیتر در ثانیه می‌باشند.

از دیگر کاربردهای سرریزهای مستغرق می‌توان به کاهش لاپرواپی و افزایش عرض کanal در اثر فرسایش تپه رسوبی قوس داخلی نام برد. زیرا با احداث این سازه‌ها در قوس خارجی، جریان توسط این سازه‌ها تسخیر شده و به سمت مرکز کanal و قوس داخلی تغییر جهت داده می‌شود. در نتیجه، تغییر جهت جریان باعث فرسایش تپه رسوبی شده که در اثر آن عرض کanal در قوس و پایین دست آن افزایش یافته و عمق آب در سمت قوس داخلی نیز نسبت به حالت قبل از احداث سرریزهای، زیاد می‌گردد. مساحت هاشور خورده در شکل ۹ بطور شماتیک سطحی از تپه رسوبی را نشان می‌دهد که در اثر احداث سرریزهای مستغرق با زاویه  $60^\circ$  دچار فرسایش شده است. برای بررسی تأثیر زاویه‌ها بر سطح فرسایش یافته تپه رسوبی، چندین مقطع از جمله مقاطع  $45$ ،  $48$ ،  $49$  و  $52$  انتخاب گردید و نسبت سطح فرسایش یافته تپه رسوبی به سطح مقطع آن در حالت بدون سازه ( $A/A_0$ ) در زاویه‌های مختلف مورد بررسی قرار گرفت که نتایج آن در شکل ۱۱ ارائه شده است. همانطور که در این شکل ملاحظه می‌گردد در تمامی مقاطع به جز مقطع  $52$ ، تأثیر زاویه  $60^\circ$  بر نسبت سطح فرسایش یافته تپه رسوبی بیش از سایر زاویه‌ها می‌باشد؛



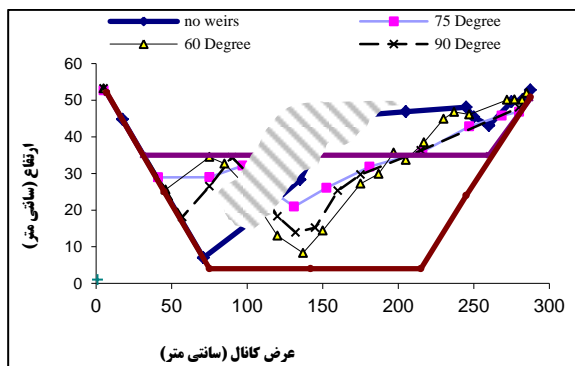
شکل ۵- تأثیر دبی بر عمق نسبی خط القعر در مقاطع مختلف (زاویه احتمالی سازه‌ها:  $60^\circ$ )



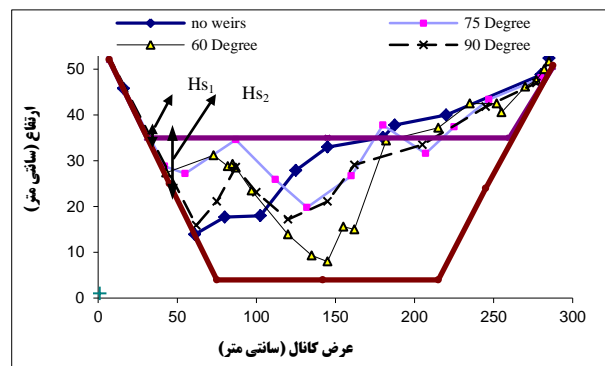
شکل ۶- عمق نسبی خط القعر در مقاطع مختلف برای حالتهای با سازه و بدون سازه

### ۳-۲- بررسی تأثیر زاویه سرریزهای مستغرق بر الگوی فرسایش و رسوب

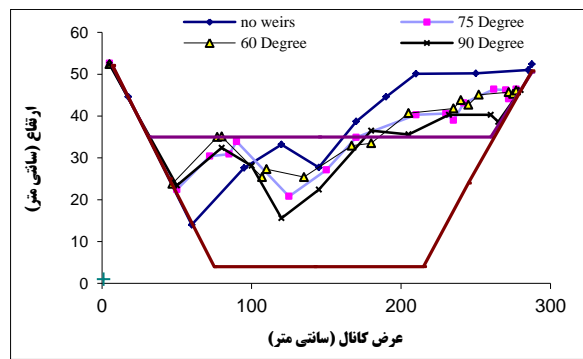
در این قسمت به بررسی تأثیر زاویه‌های  $60^\circ$  و  $90^\circ$  بر عمق نسبی آبشنستگی در سمت دیواره قوس خارجی و سطح نسبی فرسایش یافته تپه رسوبی در قوس داخلی در مقاطع مختلف پرداخته شده است. نهایتاً توپوگرافی فرسایش و رسوبگذاری در زاویه‌های مختلف احتمالی ارائه گردیده است. در اثر احداث سرریزهای مستغرق دو نوع آبشنستگی اتفاق افتاده است که اولی در اطراف و در امتداد دماغه سازه‌ها و دومین آبشنستگی در بالادست و پایین دست سرریزها و چسبیده به دیواره قوس خارجی که عمق نوع دوم در زاویه  $90^\circ$  بیشتر از سایر زاویه‌ها می‌باشد. این مهم در شکل ۷ بخوبی نشان داده شده است. در شکل مذکور  $H_{S1}$ ، عمق آبشنستگی در زاویه‌های  $60^\circ$  و  $75^\circ$  و  $H_{S2}$ ، عمق آبشنستگی در زاویه  $90^\circ$  می‌باشند. آبشنستگی پایین دست سرریزها در زاویه  $90^\circ$  با نام "S" در شکل ۱۵ بخوبی نشان داده شده است. مقادیر ماکزیمم عمق نسبی آبشنستگی در زاویه  $90^\circ$  و در تمامی مقاطع بیشتر از سایر زاویه‌ها می‌باشند. بیشترین مقدار عمق نسبی آبشنستگی در سمت دیواره، مربوط به مقاطع  $43$  و



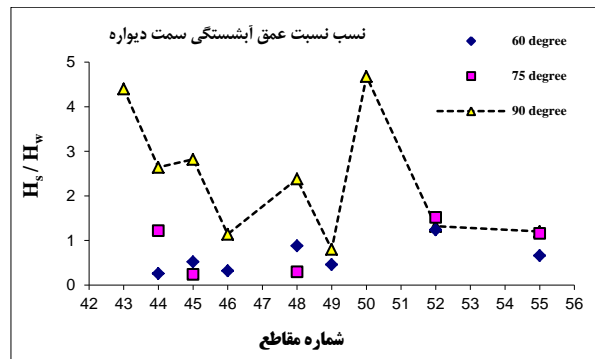
شکل ۶- سطح فرسایش یافته تپه رسوی در اثر احداث سرریزهای با زاویه  $60^{\circ}$



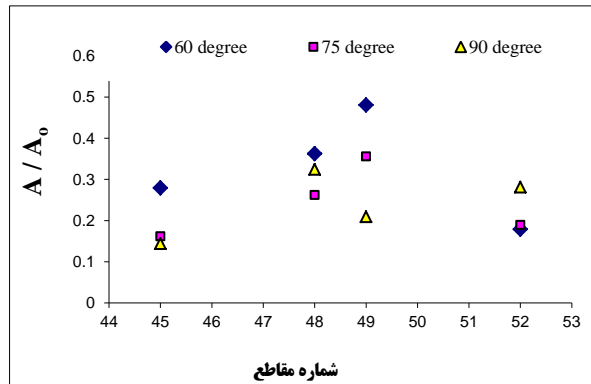
شکل ۷- الگوی رسوی و فرسایش در مقطع ۴۵ در زاویه‌های مختلف سرریزهای مستغرق و حالت بدون سازه



شکل ۱۰- الگوی رسوی و فرسایش در مقطع ۵۲ در زاویه‌های مختلف سرریزهای مستغرق و حالت بدون سازه



شکل ۸- تأثیر زاویه بر ماکریم عمق نسبی آبستگی در مقاطع مختلف در سمت دیواره خارجی قوس



شکل ۱۱- تأثیر زاویه بر نسبت سطح فرسایش یافته تپه رسوی در مقاطع مختلف

همچنین آبستگی اطراف سازه سوم در زاویه  $90^{\circ}$  بیشتر از دو زاویه دیگر اتفاق افتاده است. لذا با توجه به نتایج آزمایشات، در این نوع قوسها، سازه سوم نسبت به دو سازه اول و دوم بیشتر در معرض حمله جریان می‌باشد که در اجرا برای حفاظت از دماغه و اطراف سازه آخری باید تمهدیات لازم اندیشه شود. این امر را می‌توان در اشکال (۱۳ الی ۱۵) ملاحظه نمود.

زیرا در این حالت طول واقعی سرریزها بیشتر از زاویه  $75^{\circ}$  و آنهم بیشتر از زاویه  $90^{\circ}$  می‌باشد. بیشترین مقدار نسبت مذکور در مقطع ۴۹ برای زاویه  $60^{\circ}$  برابر با  $1/48$  و برای زاویه  $90^{\circ}$  برابر با  $1/2$  می‌باشد. کمترین مقدار این نسبت مربوط به زاویه  $75^{\circ}$  و برابر با  $1/13$  می‌باشد (مقطع ۴۵). یعنی تمام مقادیر نسبت مورد بحث در هر سه زاویه بین  $1/13$  الی  $1/48$  قرار دارند و این نشان می‌دهد که صرفنظر از تأثیر زاویه، با احداث سرریزهای مستغرق، تپه رسوی موجود در قوس داخلی بین ۱۳ تا ۴۸ درصد فرسایش تپه رسوی تا حدودی بیشتر مقطع ۵۲، تأثیر زاویه  $90^{\circ}$  بر فرسایش تپه رسوی تا حدودی بیشتر از بقیه زاویه‌ها می‌باشد؛ بطوریکه مقدار نسبت مذکور برای این زاویه برابر با  $1/28$  و برای دو زاویه دیگر  $1/19$  می‌باشد. علت این امر نزدیکی دماغه سرریز  $90^{\circ}$  به مقطع مذکور نسبت به زاویه‌های دیگر می‌باشد. زیرا با تغییر زاویه، محل قرارگیری دماغه سرریزها تا حدودی جابجا می‌شوند.

آبستگی دیگری نیز در دماغه و بالادست سازه‌ها اتفاق افتاده است که در سازه سوم بیشتر از سازه‌های اول و دوم می‌باشد.

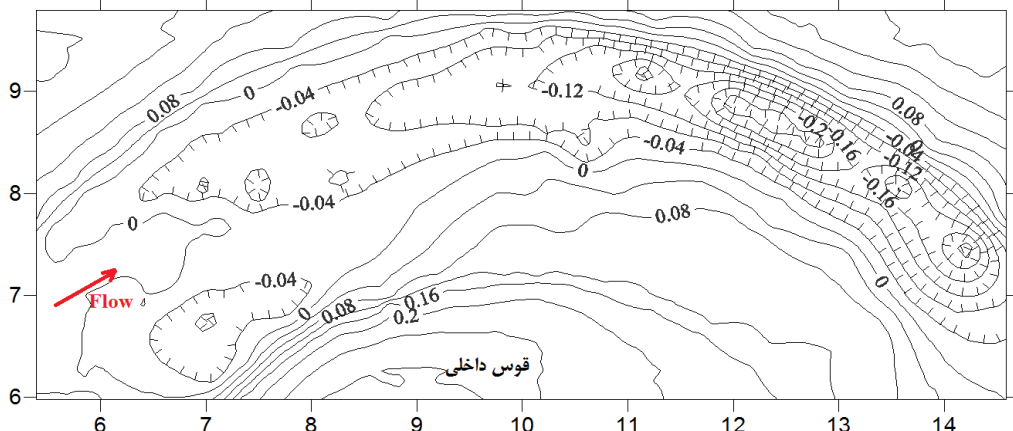
و سعت تپه رسوبی قوس داخلی کاسته شده و در نتیجه، عرض کanal افزایش یافته است. در اشکال مذکور سطح هاشور خورده مربوط به فرسایش می‌باشد و واحد مقیاسها، متر می‌باشد.

لازم به ذکر است که نتایج ارائه شده در مقاله حاضر مربوط به حالتی است که تنها متغیرهای آن زاویه سرریزها و دبی جریان می‌باشند و این در حالی است که سایر پارامترها از جمله ارتفاع، فاصله و طول سرریزها مستغرق، ثابت می‌باشند و تغییر هر یک از آنها می‌تواند در نتایج مذکور تأثیر داشته باشند.

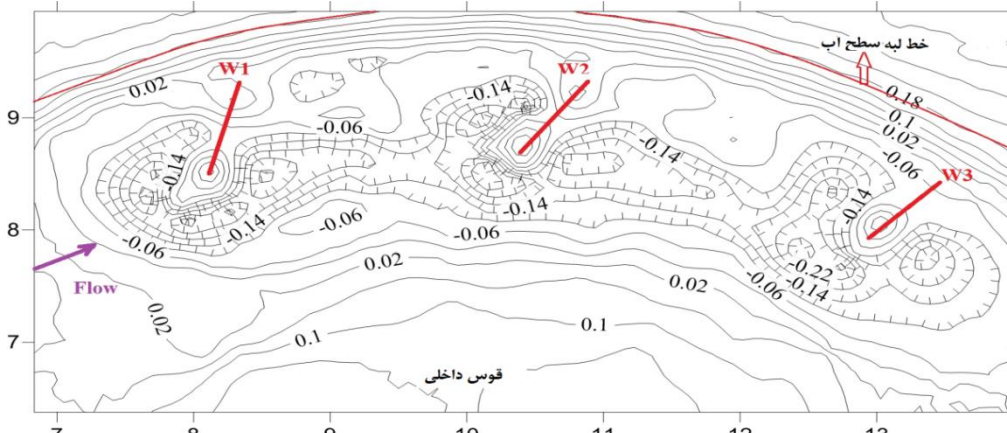
#### ۴ - نتیجه‌گیری

نتایج تحقیق حاضر نشان داد که: عمق نسبی خطالقر (D<sub>s</sub>/H<sub>w</sub>) بین مقاطع ۴۲ تا ۴۸، با احداث سرریزها در مقایسه با حالت بدون سازه افزایش یافت. به عنوان مثال در زاویه ۹۰° و در برخی مقاطع از جمله مقطع ۴۳ میزان آن ۲/۴ برابر حالت بدون سازه می‌باشد.

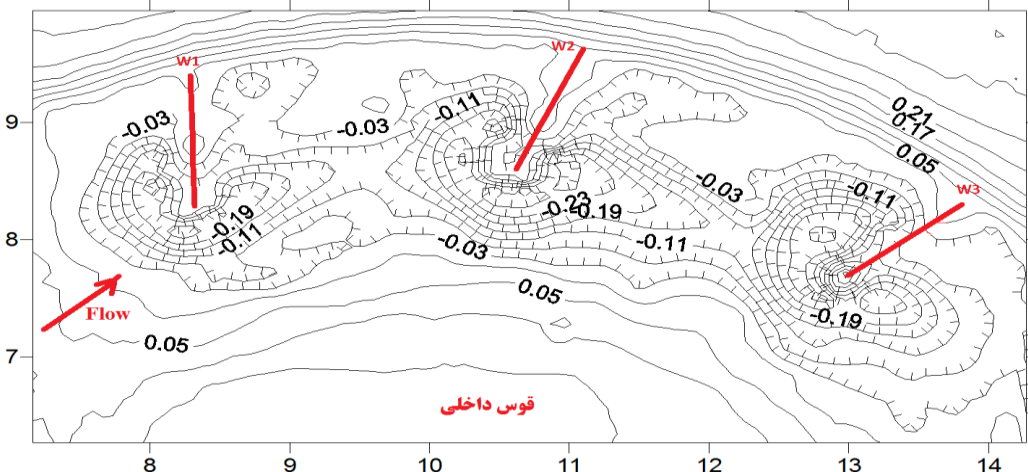
اشکال (۱۲ الی ۱۵)، توپوگرافی فرسایش و رسوبگذاری بستر را در حالت بدون سازه و با وجود سرریزهای مستغرق نشان می‌دهند. همانطور که در این اشکال ملاحظه می‌گردد در حالت بدون سازه، خطالقر در سمت دیواره قوس خارجی شکل گرفته است که بیشترین مقدار عمق آبیستگی در پایین دست رأس قوس اتفاق افتاده است (شکل ۱۲). احداث سازه‌ها باعث گردید که خطالقر به مرکز کanal و در امتداد دماغه سرریزها انتقال یابد و در بین سازه‌ها رسوبگذاری صورت گیرد. اما الگوهای رسوبگذاری نشان داد که رسوبگذاری در بین سرریزها در زاویه‌های ۶۰° و ۷۵° بهتر از زاویه ۹۰° می‌باشد (اشکال ۱۳ الی ۱۵). آبیستگی پایین دست سازه‌های با زاویه ۹۰° شدیدتر از سایر زوايا روی داده است (شکل ۱۵). بطور کلی با مقایسه اشکال مربوط به توپوگرافی فرسایش و رسوبگذاری مشخص می‌گردد که شدت فرسایش در اطراف و بین سازه‌هایی که با زاویه ۹۰° احداث گردیده بودند، بیشتر از بقیه موارد می‌باشد. زیرا شدت گردابهای ایجاد شده در پایین دست سرریزهای با زاویه ۹۰° بیشتر از سایر زاویه‌ها بود که این امر شدت فرسایش را تشید می‌کرد. همچنین قابل ملاحظه است که با احداث سرریزها از حجم و



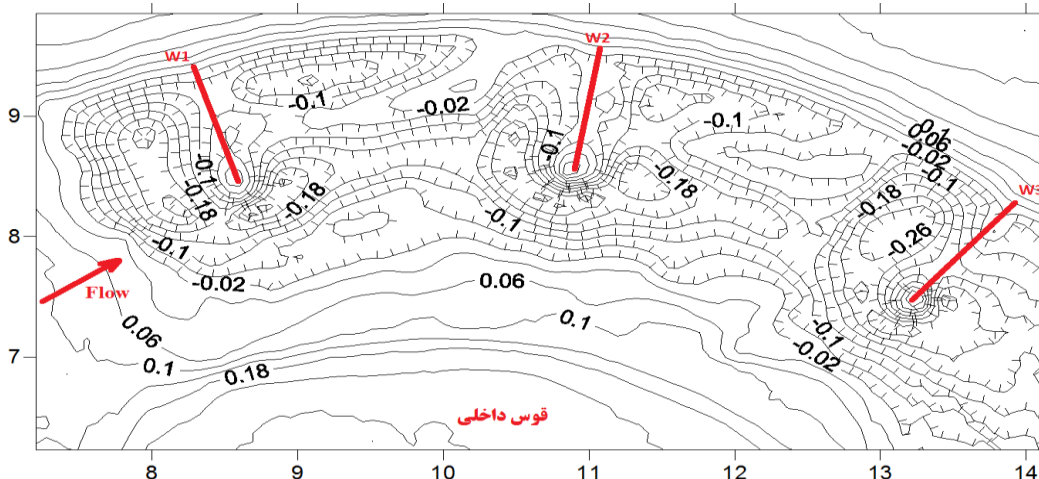
شکل ۱۲- الگوی فرسایش و رسوبگذاری قوس مرکزی پیچان رود در حالت بدون سازه (دبی ۱۸۰ لیتر در ثانیه)



شکل ۱۳- الگوی فرسایش و رسوبگذاری در اثر احداث سرریزهای با زاویه ۶۰° (دبی ۱۸۰ لیتر در ثانیه)



شکل ۱۴- الگوی فرسایش و رسوبگذاری در اثر احداث سرریزهای با زاویه  $75^\circ$  (دبی ۱۸۰ لیتر در ثانیه)



شکل ۱۵- الگوی فرسایش و رسوبگذاری در اثر احداث سرریزهای با زاویه  $90^\circ$  (دبی ۱۸۰ لیتر در ثانیه)

الگوهای فرسایش و رسوبگذاری نشان داد که رسوبگذاری در بین سرریزها و در نتیجه آن حفاظت قوس خارجی در زاویه‌های  $75^\circ$  و  $60^\circ$  بهتر از زاویه  $90^\circ$  اتفاق افتاد.

تأثیر زاویه  $60^\circ$  در فرسایش تپه رسوبی بیشتر از زاویه‌های  $75^\circ$  و  $90^\circ$  بود؛ بطوریکه بیشترین و کمترین مقدار نسبت سطح فرسایش یافته تپه رسوبی به سطح مقطع آن در حالت بدون سازه ( $A/A_0$ ) بترتیب مربوط به زاویه‌های  $60^\circ$  و  $90^\circ$  بوده که مقادیر آن بترتیب برابر با  $0/48$  و  $0/13$  می‌باشند. این امر بیانگر آن است که صرفنظر از تأثیر زاویه، احداث سرریزهای مستغرق باعث کاهش  $13$  الی  $48$  درصدی سطح مقطع تپه رسوبی در قوس داخلی شده است.

بدینوسیله از دفتر تحقیقات و استاندارد شبکه‌های آبیاری و زهکشی سازمان آب و برق خوزستان بخاطر حمایت مالی و از موسسه تحقیقات آب تهران بخاطر فراهم آوردن شرایط انجام آزمایشات تشکر و قدردانی می‌گردد.

بیشترین مقدار نسبت ماکریمم عمق آبستنگی در سمت دیواره خارجی قوس به ارتفاع سرریز ( $H_s/H_w$ ) در زاویه  $90^\circ$  و در مقاطع  $43$  و  $50$  اتفاق افتاد که مقدار آن برابر با  $4/6$  می‌باشد. مقادیر نسبت مذکور برای دو زاویه  $75^\circ$  و  $60^\circ$  قابل ملاحظه نبود.

## پی‌نوشت‌ها

1 - Waterways Experiment Station  
2- Acoustic Doppler Velocimetry

با توجه به نتایج تحقیق حاضر، استفاده از زاویه  $90^\circ$  برای احداث سرریزهای مستغرق در چنین قوسهایی توصیه نمی‌گردد.

## ۶- مراجع

- ابوالقاسمی، م. (۱۳۸۵)، کنترل رسوپ ورودی به آبگیر در پیچان رود، رساله دکتری دانشگاه تربیت مدرس.
- رامش، س.، جراحزاده، ف.، مشکورنیا، ه. و شفاعی بجستان، م. (۱۳۸۹)، وضعیت پروفیل طولی فرسایش و رسوپ تحت تأثیر سرریز Bendway در خم ۹۰ درجه تند، نهمین کنفرانس هیدرولیک ایران، تهران.
- Abad, J. D., Rhoads, B. L., Guneralp, I. and Gorgia, M.H. (2008) "Flow structure at difference stages in a meander-bend with Bendway weirs." *Journal of Hydraulic Engineering ASCE*, 134(8), pp. 1052-1063.
- Derrick, D.L. (1999). Bendway Weir History, Theory and Design. Downloaded from (<http://chl.wes.army.mil/research/hydraulics/bankprotect/bendweir/work.htm>) on 6/21/04.
- Darrow, J. (2004) "Effects of Bendway Weir Characteristics on Resulting Flow Conditions." M.S. Thesis, Colorado State University, Fort Collins, CO.
- Fischchenich, J. C., and Allen, H. A. (2000) "Stream management." ERDC/EL SR-W-00-1, U.S. Army Engineer Research and Development Center, Vicksburg, MS.
- ICBIP (Indian Central Board of Irrigation and Power) (1971) "Manual on River Behavior, Control and Training." Publication No. 60, New Delhi.
- Jarrahzade, F., and Shafai Bejestan, M. (2011) "Comparison of maximum scour depth in Bank line
- and nose of submerged weirs in a sharp bend." *Scientific Research and Essays* Vol. 6(5), pp. 1071-1076, 4 March, 2011. Available online at <http://www.academicjournals.org/SRE>
- Kinzli, K.D., and Thornton CH. I. (2009) "Predicting velocity in bendway weirs eddy fields." Published online in Wiley Inter Science ([www.interscience.wiley.com](http://www.interscience.wiley.com)) DOI: 10.1002/rra.1289
- LaGasse, P. F., Schall, J. D., and Richardson, E. V. (2001) "Stream stability at highway structures." 3rd ed., HEC-20, FHWA-NHI-01-002, Federal Highway Administration, U. S. Dept. of Transportation, Washington, D. C.
- Sclafani, P. (2010) "Methodology for predicting maximum velocity and shear stress in a sinuous channel with bendway weirs using 1-D HEC-RAS modeling results." M.S. Thesis, Colorado State University, Department of Civil Engineering, Fort Collins, CO.
- Shields, F.D. Jr., Knight, S.S., and Cooper, C.M. (1998) "Addition of spurs to stone toe protection for warm water fish habitat." *Journal of the American Water Resources Association* 34, pp. 1427-1436.
- USACE (1981) "The streambank erosion control evaluation and demonstration." Act pf 1974 Section 32, Public Low 93-251, U.S. Army Corps of Engineers (USACE), Final Report to Congress, Waterways Experiment Station, Vicksburg, Mississippi.
- Watson, C.C. (2003) "Dikes, Dikes, Dikes. CE 610 Stream Restoration-Class Notes." Spring 2003. Colorado State University, Fort Collins, CO.